

تأثیر تابش نور فرابنفش بر زیست فعال پوشش‌های هیبریدی نانوساختار پلی سیلوکسان-تیتانیوم دی اکسید-شیشه زیستی به روش سل-ژل

عاطفه خراسانی فردوانی^۱، مجتبی نصر اصفهانی^{*۲}، سید علی حسن زاده^۳

۱- کارشناس ارشد، دانشکده مهندسی مواد، واحد نجف آباد، دانشگاه آزاد اسلامی، نجف آباد، ایران

۲- استادیار، دانشکده مهندسی مواد، واحد نجف آباد، دانشگاه آزاد اسلامی، نجف آباد، ایران

۳- استادیار، دانشکده مهندسی مواد، واحد نجف آباد، دانشگاه آزاد اسلامی، نجف آباد، ایران

^{*}m-nasresfahani@iaun.ac.ir

(تاریخ دریافت: ۹۲/۱۰/۲۸، تاریخ پذیرش: ۹۳/۰۴/۳۰)

چکیده

این تحقیق توسعه پوشش‌های حاوی ذرات شیشه زیست‌فعال (45S5) و نانو ذرات TiO₂ در سل اسیدی هیبریدی از ۳-متاکریلوکسی پروپیل تری متوكسی سیلان (TMSM) و ترا اتوکسی سیلیکات (TEOS) را که بر روی صفحات شیشه‌ایی به روش لایه‌نشانی چرخشی اعمال شده است به منظور اصلاح فعالیت آپاتیت‌سازی پوشش توصیف می‌کند. چسبندگی فیلم‌های تهیه شده بوسیله روش برش مقاطعه بررسی شد. نتایج نشان داد که حضور ذرات 45S5 و TiO₂ در ماتریس هیبریدی به مقدار کم، چسبندگی پوشش را کاهش می‌دهد. میکروساختار و زیست‌فعالی در محیط آزمایشگاهی فیلم‌های کامپوزیتی و اثر مقدار ذرات 45S5 و TiO₂ و تابش نور فرابنفش (UV) بر زیست‌فعالی در محیط مصنوعی توسط تکنیک میکروسکوپ الکترونی رویشی (SEM) و طیف‌سنجی توزیع انرژی پرتو ایکس (EDS) مورد بررسی قرار گرفت. زیست‌فعالی در محیط مصنوعی فیلم‌های تهیه شده نشان می‌دهد که هسته‌های هیدروکسی آپاتیت تشکیل و بر روی سطح فیلم‌های کامپوزیتی پوشش داده شده روی صفحات شیشه‌ایی رشد می‌کند. اگرچه تابش نور UV منجر به افزایش تشکیل تجمعات هیدروکسی آپاتیت بر روی پوشش هیبریدی می‌شود ولی اثر آن قابل توجه نیست. این امر احتمالاً بخاطر سرکوب خواص فتوکاتالیستی TiO₂ در اثر پوشیده شدن با سل هیبریدی می‌باشد.

واژه‌های کلیدی:

شیشه زیست‌فعال 45S5، تیتانیوم دی اکسید، پوشش هیبریدی، نانوساختار، تابش نور فرابنفش.

۱- مقدمه

این طریق، جراحت یا بیماری اندام مذکور بهبود یابد [۱]. در سال ۱۹۶۹، نظریه زیست فعالی ارائه شد. در این نظریه مفهوم زیست فعالی بدین صورت تعریف شده بود: یک ماده زیست فعال، ماده‌ای است که پاسخ واکنش بیولوژیکی ویژه‌ای در سطح مشترک با ماده متصل ایجاد کند، که نتیجه آن تشکیل

یوماده یک ماده مصنوعی است که برای جایگزین‌سازی یا تعویض بخشی از بدن انسان یا موجود زنده یا به منظور کار کردن در تماس نزدیک با بافت زنده استفاده می‌شود. کاربرد یوماده جایگزین‌سازی و تعویض اعضاء و اندام‌هایی از بدن است که بر اثر بیماری یا آسیب، کاربری خود را از دست داده‌اند تا از

۲- مواد و روشها

۲-۱- مواد لازم

تراتائل اورتوسیلیکات (TEOS)، با خلوص ۹۹ درصد، تری اتیل فسفات (TEP)، کلسیم نیترات چهار آبه ($\text{Ca}(\text{NO}_3)_2 \cdot 4\text{H}_2\text{O}$)، ۳-متا اکریلوکسی پروپیل تری متوكسی سیلان (TMSM)، بتزوئیل پراکساید (BPO)، اتانول خالص ($\text{CH}_3\text{CH}_2\text{OH}$) و هیدروکلریک اسید (HCl) ۳۵ درصد از شرکت مرک برای تهیه شیشه زیست فعال ۴۵S5 و سل هیریدی استفاده شد. نانوذرات تیتانیوم دی اکسید از شرکت آلدریچ در محدوده ۱۰ تا ۱۵ نانومتر تهیه شد. این مواد شیمیایی بدون هیچ گونه خالص سازی مورد استفاده قرار گرفت. در کلیه واکنش‌ها از آب دو بار تقطیر استفاده شد. جهت لایه‌نشانی پوشش‌های هیریدی از اسلامیدهای میکروسکوبی به ابعاد $7/5 \text{ cm} \times 2/5 \text{ cm} \times 2 \text{ mm}$ استفاده گردید.

۲-۲- شیشه زیست فعال ۴۵S5

برای تهیه شیشه زیست فعال ۴۵S5 ابتدا به $7/6$ میلی لیتر محلول ۱ مولار نیتریک اسید به آرامی $3/4$ میلی لیتر TEOS اضافه شد. سپس در مراحل بعدی به ترتیب $0/31$ میلی لیتر TEP، $2/1$ گرم کلسیم نیترات ۴ آبه و در انتها $1/39$ گرم نیترات سدیم به محلول حاصل اضافه شد. در هر مرحله افزایش، ۳۰ دقیقه زمان داده شد تا محلول کاملاً هموزن شود. سل شفاف حاصل بعد از ۲۴ ساعت در دمای ۶۰ و ۲۰۰ درجه سانتیگراد به مدت ۷۲ و ۴۰ ساعت در خشک کن قرار گرفت و سپس پودر حاصل به مدت ۵ ساعت با نرخ افزایش دمای ۲ درجه سانتیگراد بر دقيقه در دمای ۶۰۰ درجه سانتیگراد کلسینه شد.

۲-۳- سل هیریدی آلی-معدنی

برای تهیه 10 گرم سل هیریدی، $0/03$ گرم BPO به $1/16$ گرم TMSM اضافه شد و تا شفاف شدن محلول همزده شد. سپس 1 گرم TEOS به محلول حاصل اضافه گردید و گرانروی سل با

یک پیوند بین بافت‌ها و مواد می‌باشد. این واکنش، حد وسط مواد قابل جذب و خشی می‌باشد [۲]. اولین شیشه زیست فعال در سال ۱۹۶۹ میلادی توسط هنج ساخته شد، او توانست نشان دهد که این شیشه می‌تواند بدون ایجاد لخته خون در اطراف بافت‌های بدن با آنها پیوند تشکیل دهد [۳]. شیشه‌های زیست فعال بدلیل داشتن خواص مکانیکی ضعیف ذاتی مانند چقرومگی شکست پایین و تردی، اغلب به صورت پوشش بر روی سطح کاشتنی فلزی استفاده می‌شود. بیشتر این مواد چسبندگی ضعیفی با زیر لایه داشته و نرخ زیست تخریب پذیری آنها نیز هنگام قرار گرفتن در بدن زیاد خواهد است [۴]. نانوذرات تیتانیوم دی اکسید یکی از پرکاربردترین نانوذرات نیمه‌رسانا با ویژگی‌های خاص آبدوستی و فتوکاتالیستی، جاذب نور فرابنفش و آنتی باکتریال می‌باشد که به طور گسترده در ساخت نانو کامپوزیت‌ها استفاده می‌شود [۵].

از آنجا که خواص مکانیکی بیوسرامیک‌ها محدود بوده و پوشش‌های سرامیکی نیز ترد و شکننده می‌باشد، در دهه اخیر پوشش‌های هیرید آلی - معدنی به روش سل - ژل مورد توجه قرار گرفته است. پوشش‌های هیریدی شامل شبکه‌های درهم نفوذکننده دو جزء آلی و معدنی است. پوشش‌های هیریدی آلی - معدنی به دلیل داشتن خواص مکانیکی مطلوب، انعطاف‌پذیری و چسبندگی خوب به سطح فلز و زیست فعالی کاربردهای بسیار زیادی در پزشکی، دندانپزشکی پیدا کرده است [۶]. در تحقیق حاضر سل هیریدی آلی-معدنی از واکنش‌های پلیمریزاسیون، هیدرولیز و متراکم شدن ۳- متا اکریلوکسی پروپیل تری متوكسی سیلان (TMSM) و ترا توکسی سیلیکات (TEOS) تهیه شد و نانوذرات شیشه زیست فعال و دی اکسید تیتانیوم به منظور افزایش دهنده زیست فعالی به سل هیریدی آلی - معدنی اضافه گردید و بر روی زیر لایه شیشه‌ای پوشش داده شد. ساختار و زیست فعالی پوشش‌های هیریدی قبل و بعد از تابش نور فرابنفش و غوطه‌وری در محلول SBF توسط تکنیک‌های SEM و FTIR مورد ارزیابی قرار گرفت.

انعکاسی مدل 27BRUKER TENSOR در محدوده cm^{-1} ۴۰۰-۶۰۰ استفاده گردید. چسبندگی پوشش‌ها به زیرلایه بوسیله روش متقطع با تیغه ۲ میلی‌متر طبق استاندارد ASTM D ۳۳۵۹ مورد بررسی قرار گرفت.

۳- نتایج و بحث
 جدول (۲) مقدار اکسید سیلیسیم (SiO_2)، اکسید کلسیم (CaO)، اکسید فسفر (P_2O_5) و اکسید سدیم (Na_2O) برای نمونه‌های تولید شده شیشه زیست فعال 45S5 را با استفاده از آزمون فلورسانس پرتو ایکس (XRF) نشان می‌دهد. نتیجه حاصله نشان دهنده این مطلب است که ترکیب شیشه زیست فعال تولید شده، نسبت به ترکیب شیمیائی استاندارد هنج دارای اختلاف بسیار کمی می‌باشد.

جدول (۲): میزان عناصر موجود در شیشه زیست فعال 45S5

ترکیب	غلظت تجزیی (% W/W)	غلظت تئوری
SiO_2	۴۲/۹۹	۴۵
CaO	۲۸/۶۵	۲۴/۵
Na_2O	۲۱/۴۰	۲۴/۵
P_2O_5	۵/۵۷	۵
ناخالصی	۰/۴۴۹	-
LOI	۰/۸۶	-
Total	۹۹/۹۲	-

* Loss on ignition (1000 °C, 2 h)

در شکل (۱) الگوی XRD شیشه سرامیک زیست فعال 45S5 آورده شده است. همانطور که مشاهده می‌شود، وجود پیک‌های فاز کریستالی $\text{Na}_2\text{Ca}_2\text{Si}_3\text{O}_9$ در نمونه قابل مشاهده است. بنابراین شیشه زیست فعال حاصل تا اندازه‌ایی کریستالی بوده و در درجه سانتیگراد فاز CaO و Na_2O تشکیل فاز کریستالی $\text{Na}_2\text{Ca}_2\text{Si}_3\text{O}_9$ را داده است.

نتایج مطالعات محققان نشان می‌دهد که افزایش دمای پخت شیشه‌های زیستی موجب افزایش کریستالیتی و در نتیجه کاهش

اضافه کردن ۳/۷ میلی‌لیتر اتانول تنظیم شد. در انتهای دو قطره هیدروکلریک اسید ۱ مولار و ۳ میلی‌لیتر آب مقطر به آرامی به محلول اضافه شد و به مدت ۱ ساعت برای تکمیل فرآیند هیدرولیز سل حاصل همزده شد.

۴- کامپوزیت هیبریدی پلی سیلوکسان- شیشه زیست فعال- تیتانیوم دی اکسید
 در ۳ لوله آزمایش، ۱ گرم سل هیبریدی ریخته و ۵٪ وزنی نانو پودر طبق جدول (۱) به آن اضافه شد. محتوای داخل لوله‌ها به خوبی توسط همزن و حمام اولتراسونیک مخلوط شد تا سل کامپوزیتی کاملاً همگن شود. سل‌های کامپوزیتی بر روی اسلايدهای میکروسکوپی توسط لایه نشانی چرخشی پوشش داده شد. پوشش‌ها به مدت ۲۴ ساعت در دمای محیط و سپس به مدت ۲ ساعت در دمای ۱۲۰ درجه سانتیگراد در خشک کن قرار گرفت تا کاملاً خشک شود.

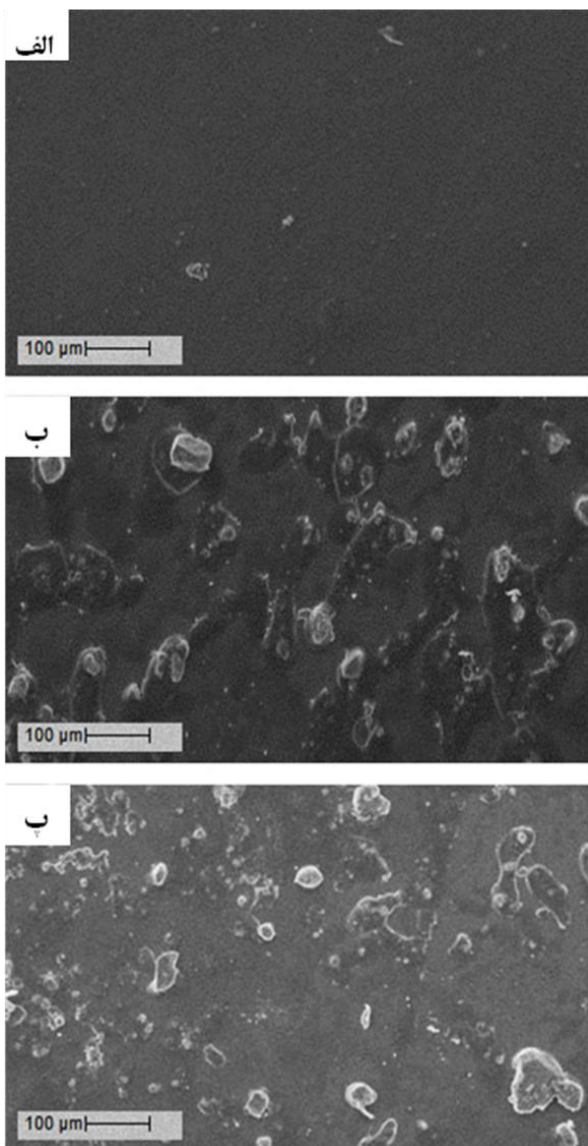
جدول (۱): ترکیب درصد سل کامپوزیتی

نمونه	سل هیبریدی (gr)	تیتانیوم دی اکسید (%)	درصد شیشه زیست فعال
۱	۱ گرم	٪۰	٪۵
۲	۱ گرم	٪۲/۵	٪۲/۵
۳	۱ گرم	٪۵	٪۰

۵- مشخصه‌هایی

آزمون‌های در محیط مصنوعی توسط غوطه‌وری نمونه‌های پوشش داده شده در SBF انجام شد. نمونه‌ها در این محلول به مدت ۲۱ روز و در دمای ۳۷ درجه سانتیگراد با رعایت نسبت سطح نمونه به حجم محلول $۰/۳۵ \text{ cm}/\text{ml}$ غوطه‌ور گردید. برای بررسی‌های ساختاری و آنالیز عنصری پوشش قبل و بعد از غوطه‌وری در SBF از دستگاه‌های طیف نگاری فلورسانس (XRD) اشعه X (XRF) مدل S4PIONEER، پراش پرتو ایکس (XRD)، مدل Philips Xpert با آند مسی ($\text{Cu K}\alpha$)، میکروسکوپ FTIR الکترونی رویشی (SEM/ EDS) مدل ZISE و آنالیز FTIR

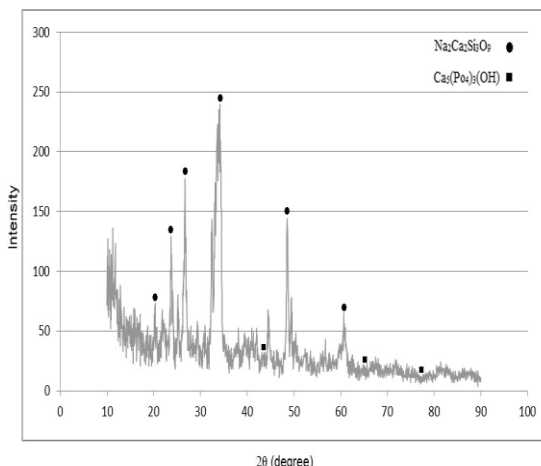
این نشان می‌دهد که نه تنها بدلیل عدم وجود ترک بلکه به دلیل داشتن چسبندگی مناسب با زیرلایه، این پوشش‌های هیریدی می‌توانند جایگزین مناسبی برای پوشش‌های سرامیکی باشد.



شکل (۲): تصاویر میکروسکوپی الکترونی روبشی از پوشش‌های هیریدی نانوساختار پلی‌سیلوکسان-تیتانیوم دی‌اکسید-شیشه‌زیستی: (الف): پوشش پلی‌سیلوکسان-تیتانیوم دی‌اکسید، (ب): پوشش پلی‌سیلوکسان-شیشه‌زیستی و (پ): پوشش پلی‌سیلوکسان-تیتانیوم دی‌اکسید-شیشه‌زیستی.

شکل (۳) تصاویر میکروسکوپ الکترونی روبشی پوشش‌های هیریدی را با و بدون ۲۴ ساعت تابش نور فرابنفش و پس از ۲۱

زیست فعال آنها می‌شود. از سوی دیگر دمای شیشه‌ای شدن شیشه‌های زیست‌فعال ۵۵۰-۶۰۰ °C گزارش شده است [۶]. بنابراین در این پژوهش نیز به منظور دستیابی به شیشه زیست‌فعال با فاز کریستالی هیدروکسی آپاتیت و حداکثر زیست فعال ممکن، دمای ۶۰۰ °C برای عملیات حرارتی انتخاب گردید.

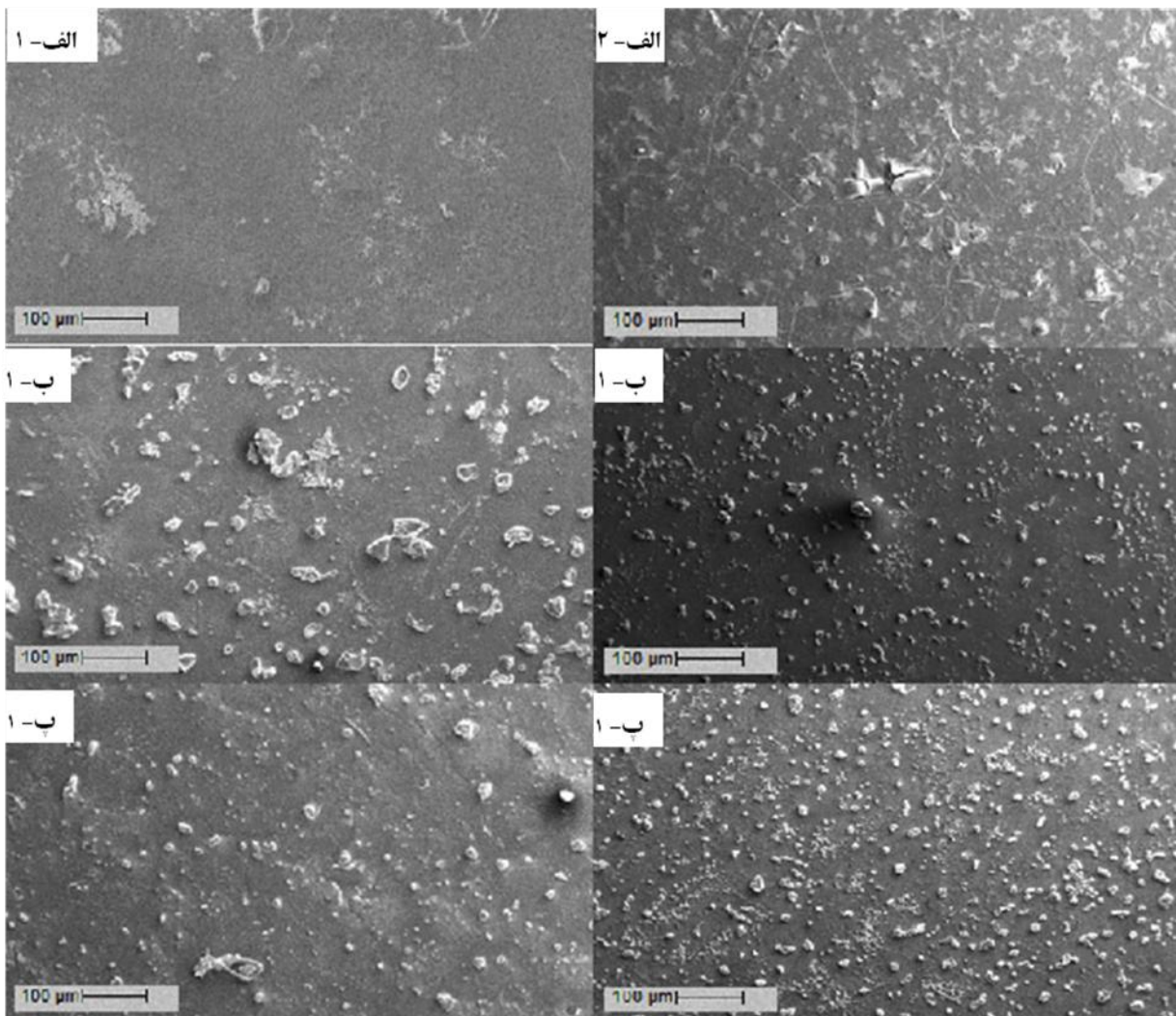


شکل (۱): الگوی پراش اشعه ایکس شیشه زیست فعال

نتایج آزمون چسبندگی پوشش‌های هیریدی نشان می‌دهد که برای نمونه ۱ چسبندگی پوشش به زیرلایه در حد ۱B بوده و حدوداً ۶۵٪ پوشش از زیرلایه جدا می‌شود. در نمونه ۲ با افزودن نانوذرات تیتانیوم دی‌اکسید میزان چسبندگی از ۱B به ۳B افزایش یافته بطوری که فقط حدود ۱۵٪ از پوشش در اثر برش متقطع از سطح زیرلایه جدا شده است. در نمونه ۳ ییشورین چسبندگی مشاهده شد و پوشش کاملاً به زیرلایه چسبیده بود و تقریباً هیچ قسمتی از پوشش از سطح زیرلایه جدا نشده است (۵B). با توجه به اینکه میزان چسبندگی در پوشش‌های کامپوزیتی به ابعاد ذرات ارتباط دارد، شیشه‌زیستی چون دارای ذرات بزرگی است تا اندازه‌ایی از چسبندگی پلیمر به زیرلایه جلوگیری می‌کند در حالیکه نانوذرات تیتانیوم دی‌اکسید مانع برای چسبندگی پلیمر به زیرلایه ایجاد نمی‌کند.

شکل (۲) تصاویر پوشش‌های هیریدی را قبل از غوطه‌وری در SBF نشان می‌دهد. همانطور که مشاهده می‌شود سطح پوشش‌های هیریدی آلی - معدنی کاملاً بدون ترک می‌باشد و

روز غوطه‌وری در SBF نشان می‌دهد.



شکل(۳): تصاویر میکروسکوپی الکترونی رویشی از پوشش‌های هیبریدی بعد از غوطه‌وری در SBF به مدت ۲۱ روز؛ (الف-۱ و الف-۲): پوشش پلی سیلوکسان-تیتانیوم دی اکسید بدون و تحت تابش UV، (ب-۱ و ب-۲): پوشش پلی سیلوکسان-شیشه زیستی بدون و تحت تابش UV و (ب-۱ و ب-۲): پوشش پلی سیلوکسان-تیتانیوم دی اکسید-شیشه زیستی بدون و تحت تابش UV

Si-OH در سطح پوشش باشد که به تشکیل هیدروکسی آپاتیت، یش از پیش کمک می‌کند.

با وجود تشکیل تجمع‌هایی از هیدروکسی آپاتیت بر روی پوشش‌های هیبریدی، حتی ورود همزمان TiO_2 و 45S5 نتوانسته است باعث تشکیل یک لایه هیدروکسی آپاتیت بر روی سطح پوشش گردد. مطالعات قبلی نیز ضعف تشکیل لایه متراکم از هیدروکسی آپاتیت را بر روی پوشش‌های سرامیک و هیبریدی نشان داده است که دلیل عدمه آن متراکم بودن

با دقت در تصاویر SEM شکل (۳) الف-۱، ب-۱ و ب-۲ مشاهده می‌شود که لکه‌های سفید رنگی بصورت جزیره‌های کوچک در کل سطح تشکیل شده است. داده‌های FTIR و EDS تایید می‌کند که این لکه‌های سفید از جنس آپاتیت شبه استخوانی می‌باشد. همانطور که در شکل ۳ (ب-۱) مشاهده می‌شود با ورود همزمان تیتانیوم دی اکسید و شیشه زیستی 45S5 در پوشش، هیدروکسی آپاتیت بیشتری تشکیل شده است که دلیل آن می‌تواند ناشی از حضور همزمان گروه‌های Ti-OH و

به فسفر (Ca/P) پوشش هیریدی که تنها حاوی TiO_2 است به ترتیب ۱/۶، ۲/۸ بدست می‌آید. بنابراین تابش نور فرابنفش باعث افزایش نسبت Ca/P شده است که نشان‌دهنده افزایش ترسیب یون کلسیم نسبت به فسفر بر روی سطح پوشش است. غیراستوکیومتری بودن نسبت Ca/P به آمورف بودن ذرات هیدروکسی آپاتیت بر روی پوشش نسبت داده می‌شود [۸].

شکل‌های (۴) ب-۱ و ب-۲ مربوط به آنالیز EDS پوشش هیریدی است که تنها حاوی ذرات ۴S5 می‌باشد. با توجه به اینکه خود شیشه‌زیستی ۴S5 حاوی هیدروکسی آپاتیت می‌باشد بعد از غوطه‌وری در محلول SBF مجدداً بر روی پوشش، ذرات هیدروکسی آپاتیت رسوب نموده است. نکته قابل توجه افزایش نسبت مولی Ca/P در این پوشش در اثر تابش نور فرابنفش می‌باشد که احتمالاً بخاطر رسوب غیر استوکیومتریک هیدروکسی آپاتیت است.

شکل‌های (۴) پ-۱ و پ-۲ مربوط به آنالیز EDS پوشش هیریدی حاوی ترکیب ذرات TiO_2 و ۴S5 می‌باشد. مطابق با این داده‌ها، تابش نور فرابنفش مجدداً باعث افزایش نسبت مولی Ca/P در اثر ترسیب هیدروکسی آپاتیت غیراستوکیومتریک شده است. با توجه به نیمه کمی بودن آنالیز EDS، از داده‌های فوق بطور کلی می‌توان اینگونه درک کرد که تابش نور فرابنفش باعث افزایش میزان ترسیب کلسیم و فسفر بصورت فاز هیدروکسی آپاتیت شده است که بخوبی نقش ارزنده تابش نور فرابنفش را نشان می‌دهد.

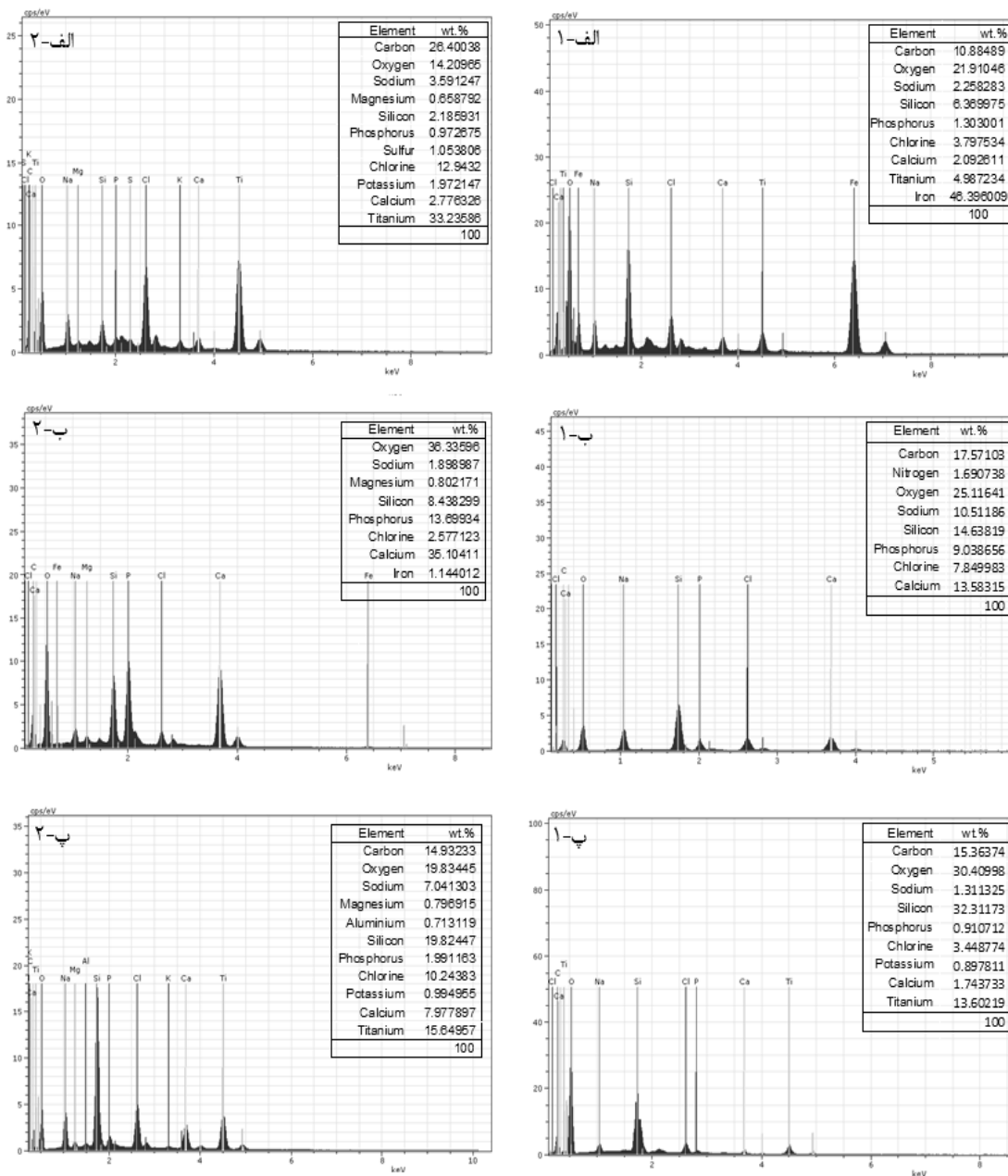
نتایج حاصل از آنالیز FTIR نمونه پوشش هیریدی پلی‌سیلوکسان- تیتانیوم دی‌اکسید- شیشه‌زیستی قبل از غوطه‌وری در SBF و بعد از تابش نور فرابنفش و غوطه‌وری در SBF در شکل ۵ نشان داده شده است.

پوشش‌ها نسبت به نمونه‌های بالک (پودر) شیشه زیست فعال و TiO_2 گزارش شده است [۷]. در واقع عامل تخلخل و ناهمواری سطح یک عامل مهم در تشکیل هیدروکسی آپاتیت بر روی سطح در هنگام غوطه‌وری در SBF می‌باشد.

در شکل‌های (۳) الف-۲، ب-۲ و پ-۲ مورفولوژی سطح پوشش‌های هیریدی بعد از ۲۴ ساعت تابش نور فرابنفش و سپس غوطه‌وری در SBF به مدت ۲۱ روز نشان داده شده است. با مقایسه شکل‌های (۳) الف-۱ و الف-۲ مشخص می‌شود که پوشش هیریدی که فقط حاوی نانو ذرات TiO_2 است، در اثر تابش نور فرابنفش با افزایش تشکیل تجمع‌های هیدروکسی آپاتیت مواجه شده است که دلیل آن خاصیت نیمه رسانایی TiO_2 و تشکیل گروه‌های هیدروکسیل بیشتری روی سطح پوشش می‌باشد. این گروه‌های هیدروکسیل مراکز تشکیل هسته‌های هیدروکسی آپاتیت می‌باشد [۸]. اگرچه تابش نور فرابنفش منجر به افزایش تجمع‌های هیدروکسی آپاتیت شده است ولی این افزایش در مقایسه با پوشش‌های سرامیکی حاوی TiO_2 در تحقیقات قبلی بسیار کمتر است [۹]. دلیل عدمه این کاهش را می‌توان به سرکوب شدن خاصیت نیمه رسانایی TiO_2 در اثر پوشیده شدن با پلیمر نسبت داد.

از مقایسه شکل‌های (۳) ب-۱ و ب-۲ تغییر چشمگیری در تشکیل تجمع‌های هیدروکسی آپاتیت در اثر تابش نور فرابنفش قابل مشاهده نیست و حتی تا اندازه‌ای افت تشکیل این تجمع‌ها نیز مشاهده می‌شود که بخوبی، بود خاصیت نیمه رسانایی برای ذرات شیشه ۴S5 را نشان می‌دهد. در حالیکه با ورود همزمان TiO_2 و ذرات شیشه ۴S5 در پوشش هیریدی در شکل‌های (۳) پ-۱ و پ-۲، به وضوح، افزایش تشکیل تجمع‌های هیدروکسی آپاتیت را در اثر تابش نور فرابنفش می‌توان مشاهده کرد. این افزایش را به می‌توان تجمیع خاصیت نیمه رسانایی TiO_2 و زیستی ۴S5 در پوشش هیریدی شیشه زیستی- تیتانیوم دی‌اکسید نسبت داد.

شکل (۴) طیف EDS پوشش‌های هیریدی شکل (۳) را نشان می‌دهد. مطابق با شکل‌های ۴ الف-۱ و الف-۲، نسبت کلسیم



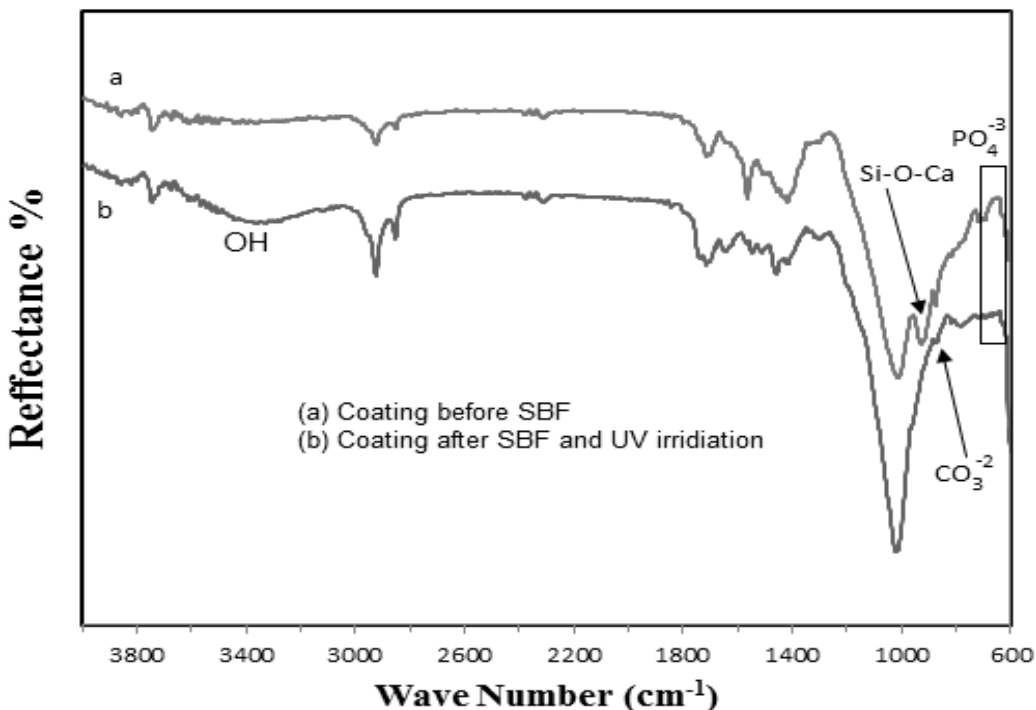
شکل (۴): آنالیز EDS پوشش‌های هیبریدی بعد از غوطه وری در SBF به مدت ۲۱ روز: (الف-۱ و الف-۲): پوشش پلی سیلوکسان-تیتانیوم دی اکسید بدون و تحت تابش UV، (ب-۱ و ب-۲): پوشش پلی سیلوکسان-شیشه زیستی بدون و تحت تابش UV و (ب-۱ و ب-۲): پوشش پلی سیلوکسان-تیتانیوم دی اکسید-شیشه زیستی بدون و تحت تابش UV (UV)

آپاتیت تشکیل شده آمورف است [۱۰]. پیک در عدد موج cm^{-1} ۸۸۰ نشان دهنده تشکیل CO_3^{2-} می‌باشد که در زمان‌های غوطه‌وری بالا در SBF ظاهر می‌شود. بنابراین می‌توان نتیجه

در این شکل پیک‌های مشخص شده در کادر مربعی، پیک‌های مشخصه تشکیل هیدروکسی آپاتیت را نشان می‌دهد. با توجه به کوچکی پیک‌های حاصل، می‌توان اظهار نمود که هیدروکسی

افرایش شدت پیک مشخصه هیدروکسی آپاتیت شده است.

گرفت که هیدروکسی آپاتیت حاصل حاوی گروههای کربناتی است و با عنوان کربنات هیدروکسی آپاتیت بیولوژیک شناخته می‌شود [۱۱]. بوضوح مشاهده می‌شود تابش نور UV باعث



شکل(۵): آنالیز FT-IR پوشش هیریدی پلی سیلوکسان- تیتانیوم دی اکسید- شیشه زیستی: قبل: (الف) و بعد: (ب) از غوطه وری در محلول شبیه سازی شده بدن انسان به مدت ۲۱ روز

۴- تشکیل هیدروکسی آپاتیت شبه استخوانی بر روی سطح پوشش‌ها بوسیله آزمون‌های EDS و FTIR اثبات شد.
۵- نتایج نشان داد تابش نور فرابنفش در کل باعث افزایش زیست‌فعالی پوشش‌های هیریدی حاوی نانو ذرات تیتانیم دی اکسید می‌شود.

۶- تشكر و قدردانی
هزینه‌های این پژوهش با کمک مالی معاونت پژوهشی دانشگاه آزاد اسلامی نجف آباد انجام شده است.

۷- مراجع
[۱] م. رفیعی نیا و ش. بنکدار، بیومتریال‌ها اصول و کاربرد، انتشارات دانشگاه صنعتی امیرکبیر، چاپ اول، ۱۳۸۶.

۴- نتیجه گیری

۱- پوشش هیریدی بر پایه ۳- متا اکریلوکسی پروپیل تری متوكسی سیلان حاوی ذرات شیشه زیست فعال و نانو ذرات تیتانیوم دی اکسید بطور موفقیت آمیز بدون ترک و تخلخل تهیه شد.

۲- نتایج حاصل از آزمون چسبندگی نشان داد که افروden نانو ذرات تیتانیم دی اکسید به شیشه زیست فعال، میزان چسبندگی پوشش به زیر لایه را افزایش می‌دهد.

۳- نتایج بررسی زیست فعالی در محلول شبیه‌سازی شده بدن، نشان دهنده‌ی تشکیل هیدروکسی آپاتیت شبه استخوانی بر روی پوشش هیریدی نانو ساختار پلی سیلوکسان- تیتانیوم دی اکسید- شیشه زیستی می‌باشد.

- [۸] M. Ueda, T. Kinoshita, M. Ikeda & M. Ogawa, "Photo-induced formation of hydroxyapatite on TiO₂ synthesized by a chemical-hydrothermal treatment", Materials Science and Engineering C, Vol. 29, pp. 2246-2249, 2009.
- [۹] م. امید بختیاری، "تهیه، مشخصه یابی و بررسی تاثیر نور UV بر زیست فعالی پوشش‌های کامپوزیتی نانوساختار شیشه زیست فعال-تیتانیوم دی اکسید به روش سل ژل"، دانشکده مهندسی مواد، دانشگاه آزاد اسلامی واحد نجف آباد، ۱۳۹۱.
- [۱۰] M. Omid-Bakhtiari, M. Nasr-Esfahani & A. Nourmohamadi, "TiO₂-Bioactive Glass Nanostructure Composite Films Produced by a Sol-Gel Method: In Vitro Behavior and UV-Enhanced Bioactivity", Journal of Material Engineering and Performance, Vol. 1, pp. 258-293, 2014.
- [۱۱] P. Saravanapavan, J. R. Jones, R. S. Pryce & L. L. Hench, "Bioactivity of gel glass powders in the CaO-SiO₂ system: A comparision with ternary (CaO-P₂O₅-SiO₂) and quaternary glasses (SiO₂-CaO-P₂O₅-Na₂O)", Journal of Biomedical Materials Research Part, Vol. 66A, pp. 110-119, 2003.
- [۱۲] م. فتحی، کاربرد پزشکی پوشش‌های بیوسامیکی ایمپلنت‌ها، انتشارات ارکان، ۱۳۸۱.
- [۱۳] T. Kokubo & H. Takadama, "How useful is SBF in predicting in vivo bone bioactivity", Biomaterials, Vol. 27, pp. 2907-2915, 2006.
- [۱۴] R. Ramachandra & T. S. Kannan, "Synthesis and Sintering of Hydroxyapatite-Zirconia Composites", Materials Science and Engineering, Vol. 20, pp. 187-193, 2002.
- [۱۵] A. Chatterjee & M. S. Islam, "Fabrication and characterization of TiO₂-epoxy nano composite", Materials Science and engineering, Vol. A 487, pp. 574-585, 2008.
- [۱۶] Duran, A. Conde, A. Gomez Coedo, T. Dorado, C. Garcia & S. Cere, "Sol-gel coatings for protection and bioactivation of metals used in orthopaedic devices", Journal of Materials Chemistry, Vol. 14, 2004, pp. 2282-2290.
- [۱۷] م. ناصرافهانی، ر. ابراهیمی، م. داداش و س. کرباسی، "مقایسه خواص فیزیکی شیمیابی پوشش نانوکامپوزیت شیشه زیست فعال-دی اکسید تیتانیم و زیست فعالی آنها"، فصلنامه علمی پژوهشی مهندسی مواد مجلسی، شماره ۲، صفحه ۱-۷، تابستان ۱۳۸۹.